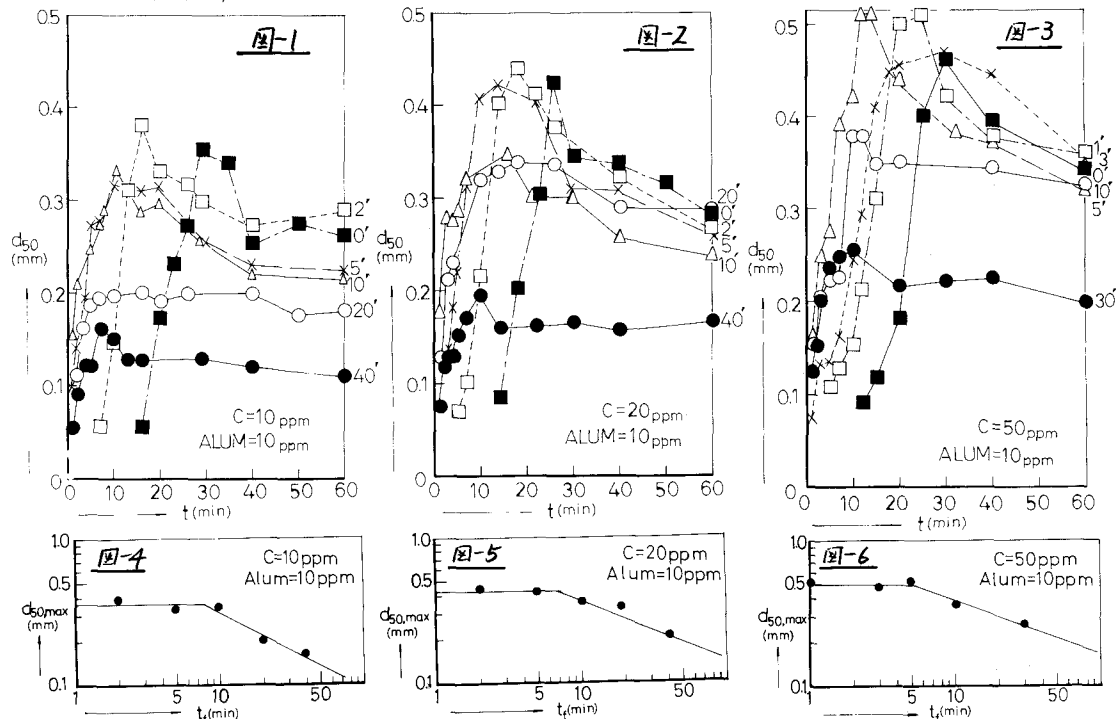


九州大学 正員 粟谷 陽一
 同上 同上 楠田 恒也
 同上 同上 ○古賀 審一

1. まえがき. 洋水処理において、フロック形成に欠くことのできない固液分離操作の一つである。フロック形成槽の合理的設計、最適運転管理を目的とした研究は数多く成されており、代表的万ものとして丹保らの CGT 値説¹⁾がある。一方、著者らの実験によればフロックには攪拌触続時間の増加と共にフロックが compact になる集団及び濁質除去効率が低下する事等が認められている。さらには急速攪拌を経て後速攪拌によりフロック形成を行なった場合、急速攪拌の触続時間(以下 t_f と称する)がある一定の時間(以下 t_0 と称する)より短いならば後速攪拌下での最大平均径($d_{50,ms}$)はほぼ一定値となり、その後($t > t_0$)と共に $d_{50,ms}$ は次第に減少する傾向にある事を見出している。以上の事からフロック形成機構を明らかにし、ひりては実用的方面への応用を試みるためには急速攪拌におけるフロックの性質まで考慮に入れた検討が必要と思われる。以上の観点に基き急速攪拌触続時間と後速攪拌下におけるフロックの最大成長度について実験的検討を加え若干の知見を得たので報告する。

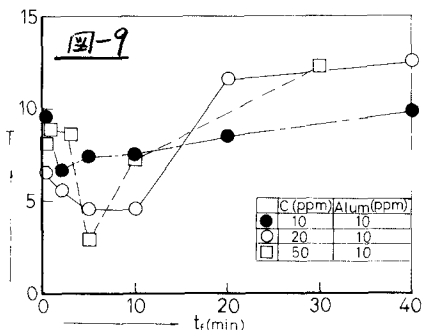
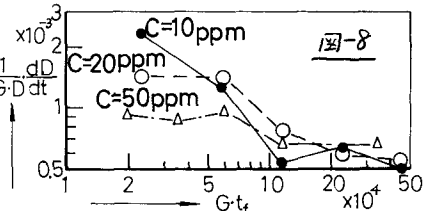
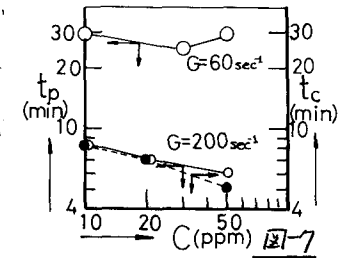
2. 実験装置及び方法. フロック形成を行なうための攪拌槽(14 cm × 14 cm × 15.3 m, 容量 3 l)は従来のものと同一である。実験方法としてはまず pH 調整のための NaHCO₃ を所定量注入し、所定量の濁質及び硫酸ペニドをこの順で注入する。所定の急速攪拌強度で一定時間攪拌を行なった後、後速攪拌によりフロック形成を行ない、粒径分布を得るために透析撮影を行なう。

3. 実験結果及び考察. 急速攪拌($G = 200 \text{ sec}^{-1}$)を経て後速攪拌($G = 70 \text{ sec}^{-1}$)により成長させたフロックの平均径の時間変化を図-1~3 に示す。横軸は体積メデイアノ径 d_{50} であり、縦軸は後速攪拌触続時間である。図中のパラメータ t_0 は急速攪拌触続時間(t_f)である。図-4~6 は t_f と最大平均径との関係を図示したものである。今回行なった実



験の範囲内において、図-1～6から解ることは従来と同様に $t_f \ll t_c$ であれば $d_{50,ms}$ はある一定値を示し、 $t_f \gg t_c$ であれば、 t_f の増大と共に次第に減少することである。さらに $t_f \ll t_c$ の場合、 $d_{50,ms}$ は $t_f = 0$ 分すなわち「後速搅拌」のみで成長させた場合の $d_{50,ms}$ とはほぼ一致していことがある。また、一定強度の搅拌 ($G = 60 \text{ sec}^{-1}, 200 \text{ sec}^{-1}$) のみでフロック形成を行ない、平均径が最大に達する時間 t_f 及び図-1～6から得られた t_f を横軸に濁質濃度を横軸に取り、図示したもののが図-7である。この図において $G = 200 \text{ sec}^{-1}$ における t_f と t_p はほぼ一致していかる。著者らが今まで行った実験の範囲内では、図-4～6における t_f の存在、図-7における t_f と t_p の一致性は搅拌強度比を変えた場合や、ALT比を一定として濁質濃度を変えた場合にもほぼ成立していかる。³⁾ また、粘土を全く加えずに硫酸アルミニウムと水中に存在するアルカリとによって生成した水酸化アルミニウム水和物の成長は粘土を加えた他の条件は全く同一とした場合のものと類似していること、及び図-7にみられる様に着生率を一定とし、濁質濃度を変えても t_f も差程変化していないことから、今回行ったような実験の範囲内では、 t_f と t_p は水酸化アルミニウムの生成と密接な関係にあると考えられる。ここで、後速搅拌初期について検討を加える。すなわち、破壊が無視できるものとして、ある代表粒径を $D (\ll 1)$ 、細度を η とすると、簡単な order estimation として $dn/dt \sim -k G \eta^2 D^3$ (k は付着率) さらに $C \sim m D^3 p_f$ (m は一定、 p_f はフロック密度) また $p_f \sim d^{-1}$ が成立するとして $C \sim m D^2$ となり、 $d(D)/dt \sim k G C D^2$ を得る。従って、 G が一定の場合、 $D \ll 1$ であります $d(D)/dt$ が得られれば η の次近似としての $d(D)/dt$ を無次元化したものと G ない (G は一定) との関係を図示したものである。この図において、 $t_f \ll t_c$ であれば $d(D)/dt$ の後から減少していかることから、急速搅拌時に $t_f \ll t_c$ の増大と共に付着率が減少するのには t_f に比べるとかなり long-term の現象と云える。また、 $t_f \ll t_c$ における $d(D)/dt$ はほぼ一定値を示すこと及び後速搅拌下での $d_{50,ms}$ がほぼ一定値を保つことから $t_f \ll t_c$ におけるフロックの表面はかなり fresh な状態にあると考えられる。 $t_f \ll t_c$ 附近においては破壊が生じ始めること、さらにはそれが G の増加に伴い進行することから、少なくとも、急速搅拌下でフロックが最大成長に達する附近においては、比較的短時間の間に破壊及びそれに伴うフロック表面の不活性化が生じているものと思われる。図-9は後速搅拌を120分繼續した後、搅拌を止め、2分間静置液降下せ、水表面下約7cmの所から採水した上澄濁度と t_f との関係を図示したものである。この図において、ほぼ t_f 附近において上澄濁度が最小値を示す傾向にある。後で、沈殿池内における浮遊残留濁度を最小にする最適と見なす限りにおいては、ある最適な急速搅拌時間が存在することも考えられる。この件に関しては、流降天秤を使用して、さらに詳しく述べて検討を行なった。

尚、本研究は昭和52、53年度の文部省科学研究費補助(総合研究(A))を受けたものである。



参考文献

- 1)丹保慶仁、渡辺義公：フロックキューレータの合理的設計(II)、木道協会雑誌 NO.941 1976.6 P.2-14
- 2)栗谷、楠田、古賀：搅拌時間およびフロック濃度がフロッカの性質に及ぼす影響 12回紅生工学シンポジウム/1976.1
- 3)同上：フロック形成過程における付着率の変化(4) 第29回全国木道研究発表会 1978.5. P.311-P.321